

1

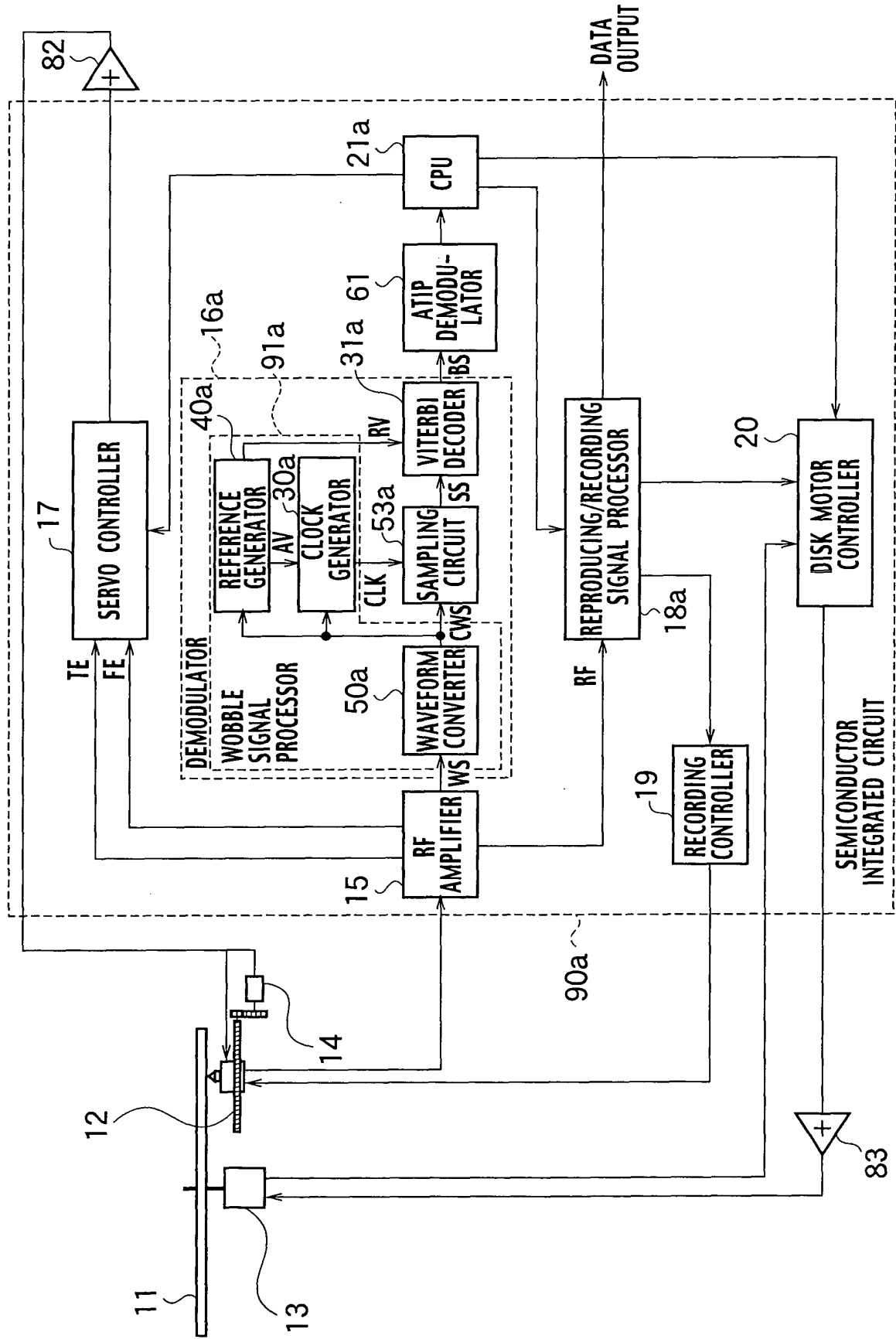


FIG. 2

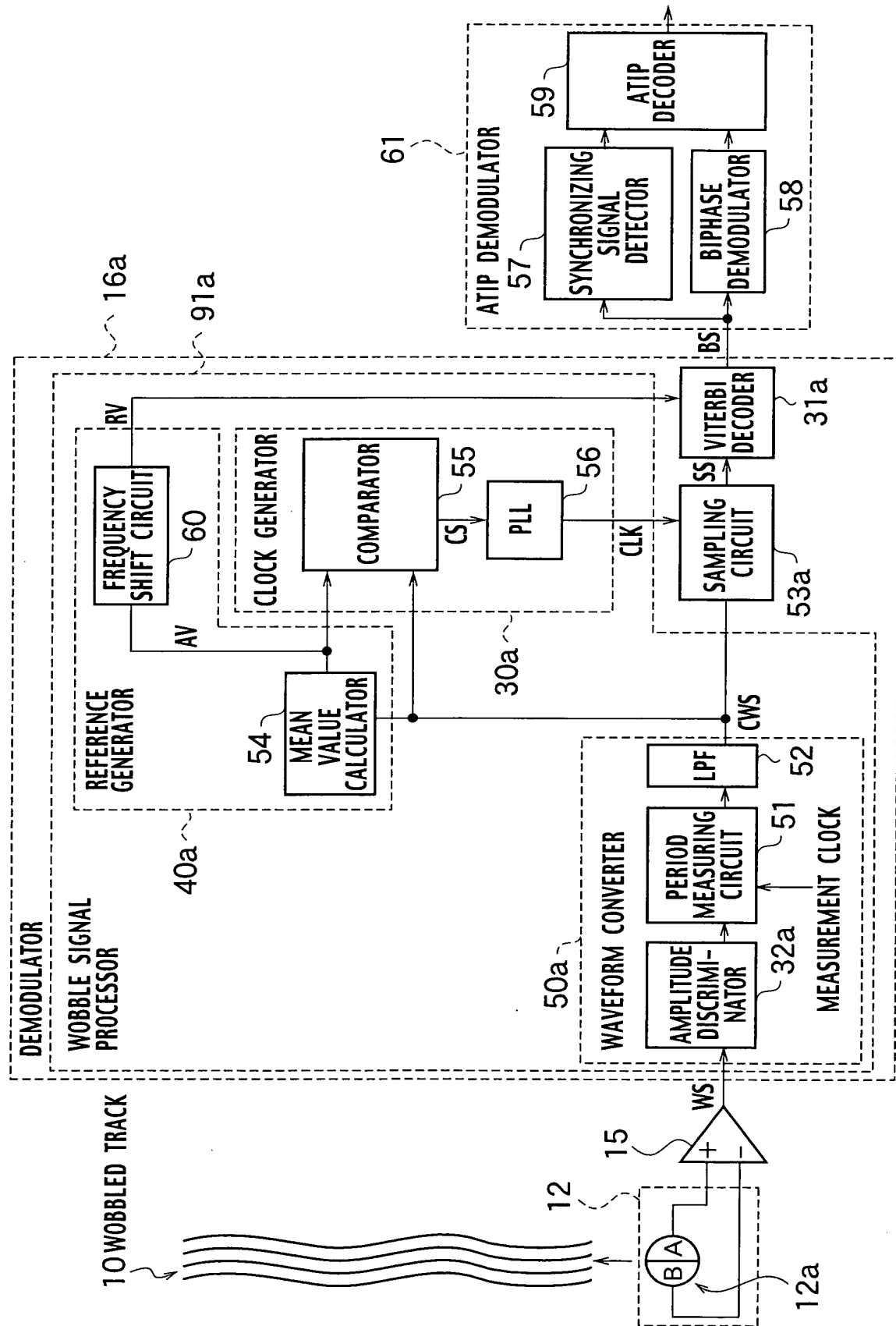


FIG. 3

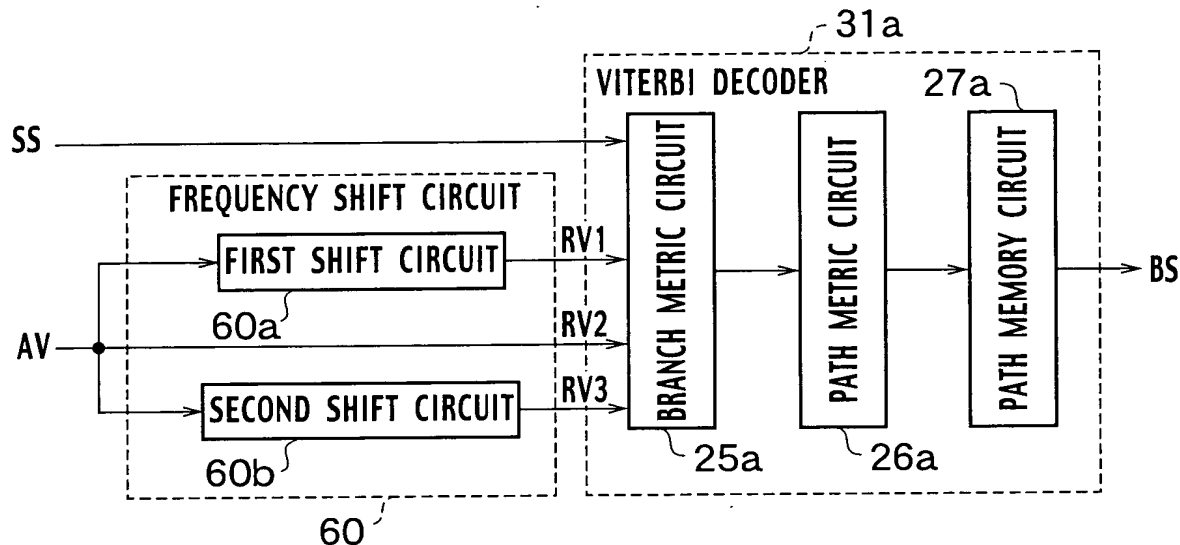


FIG. 4

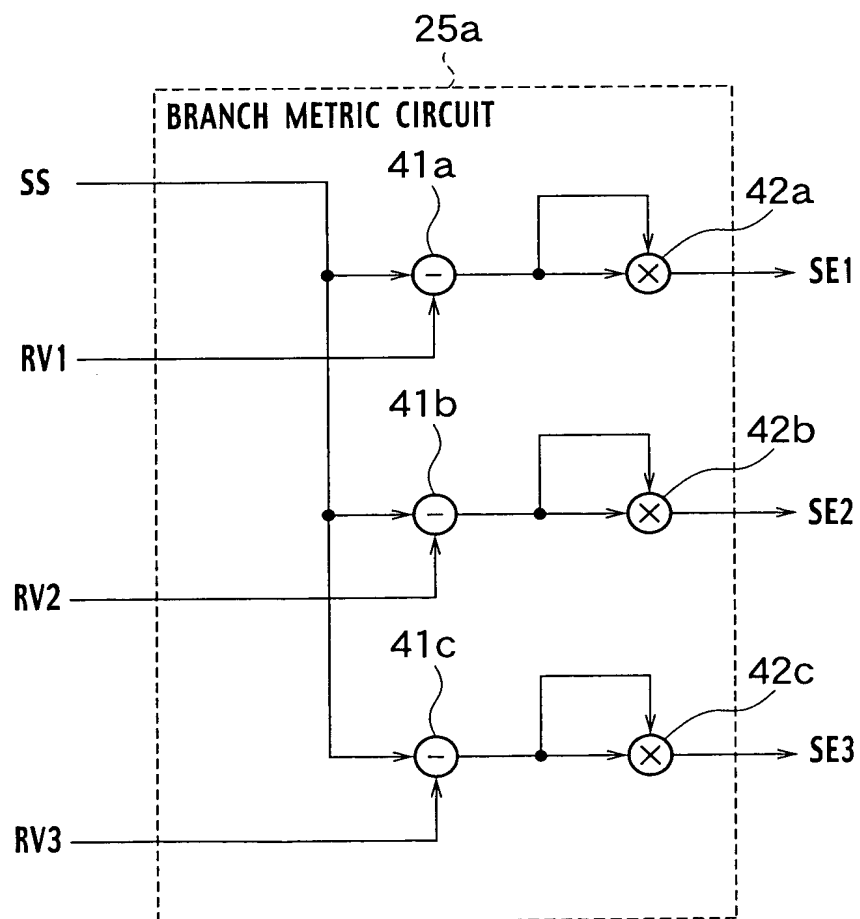


FIG. 5A

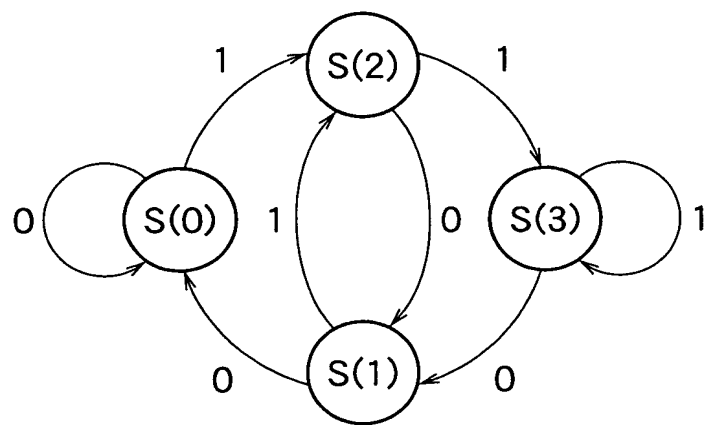


FIG. 5B

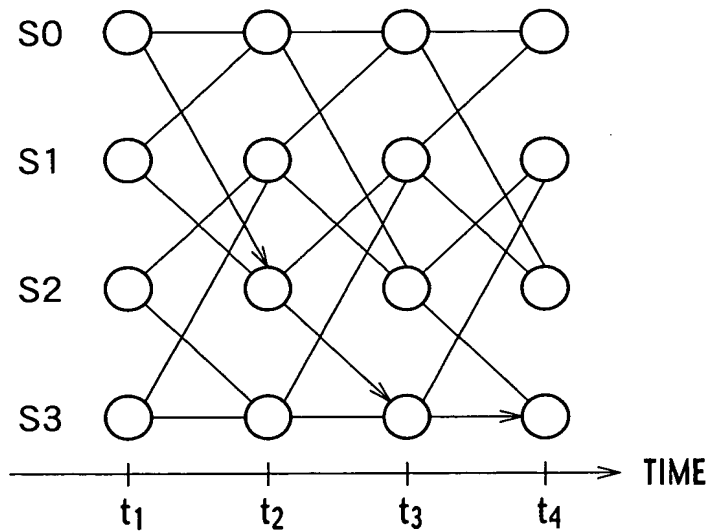


FIG. 6A ATS

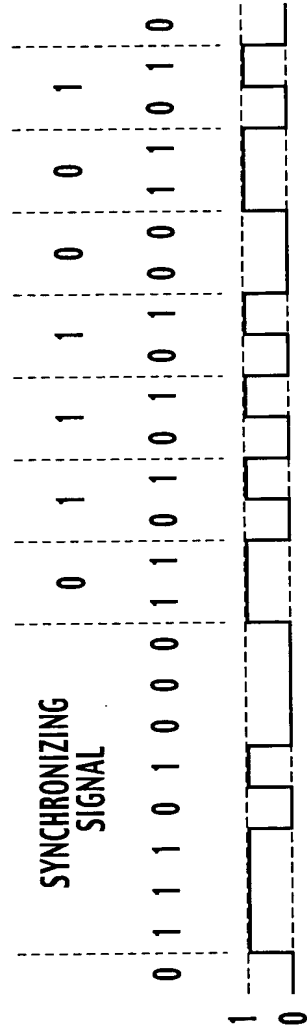


FIG. 6B BS

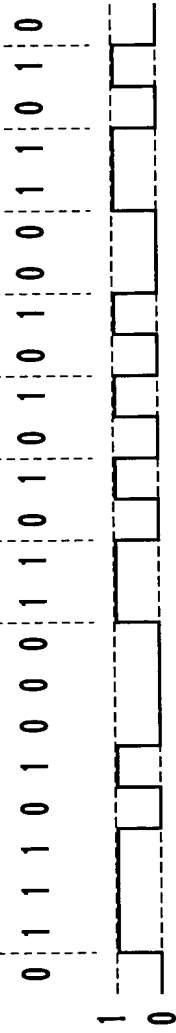


FIG. 6C BS

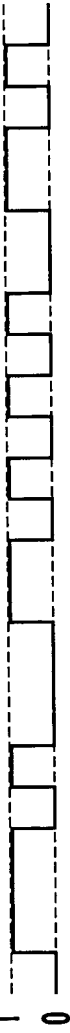


FIG. 6D BS

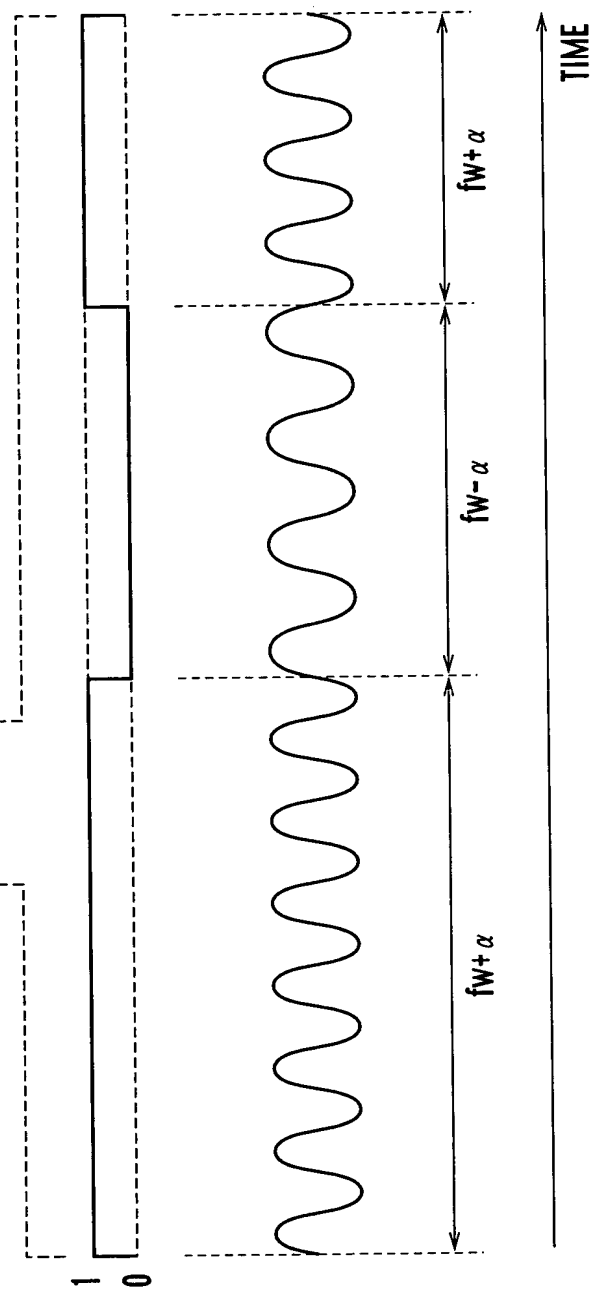
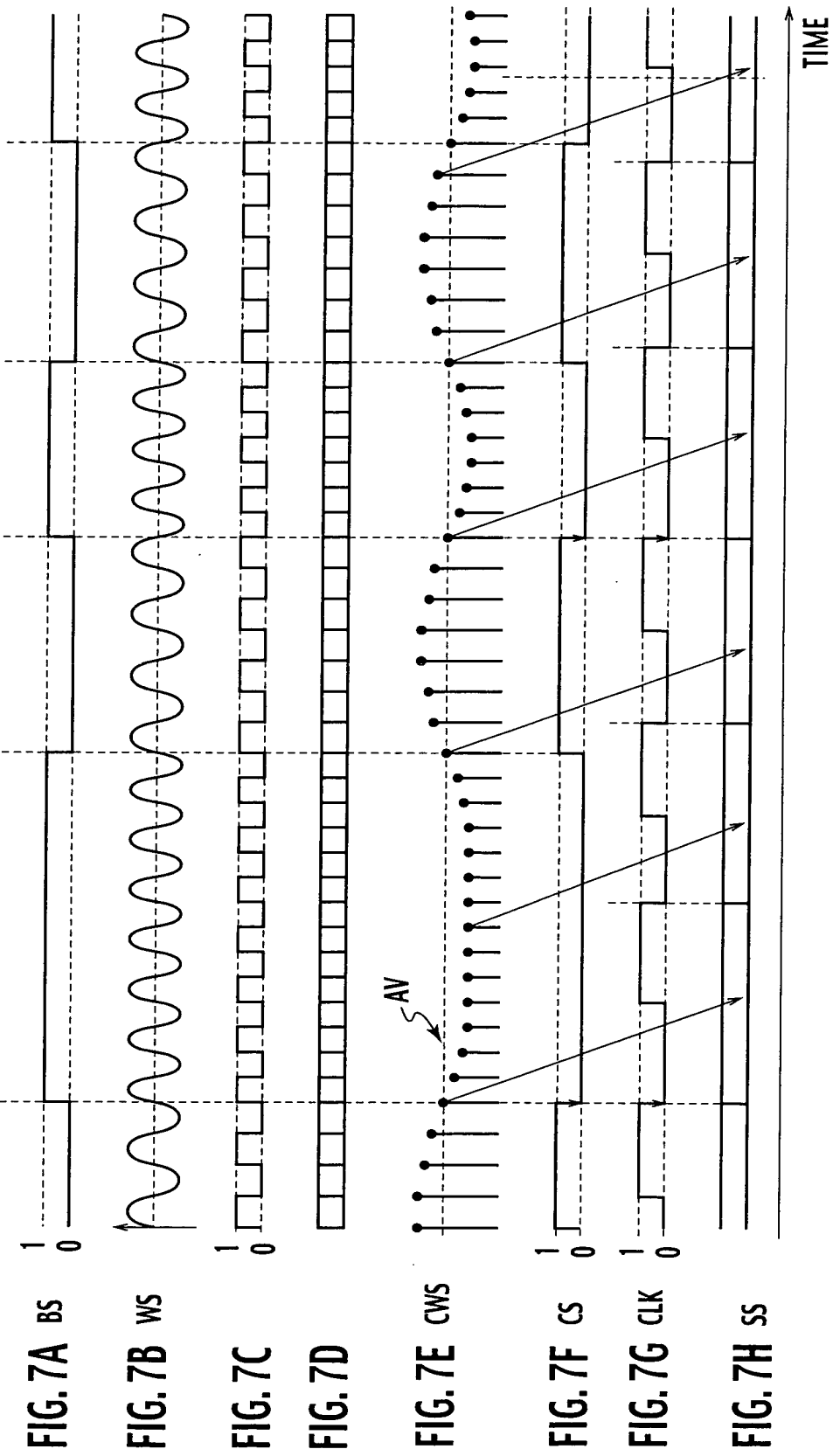


FIG. 6E FS

6/23



7/23

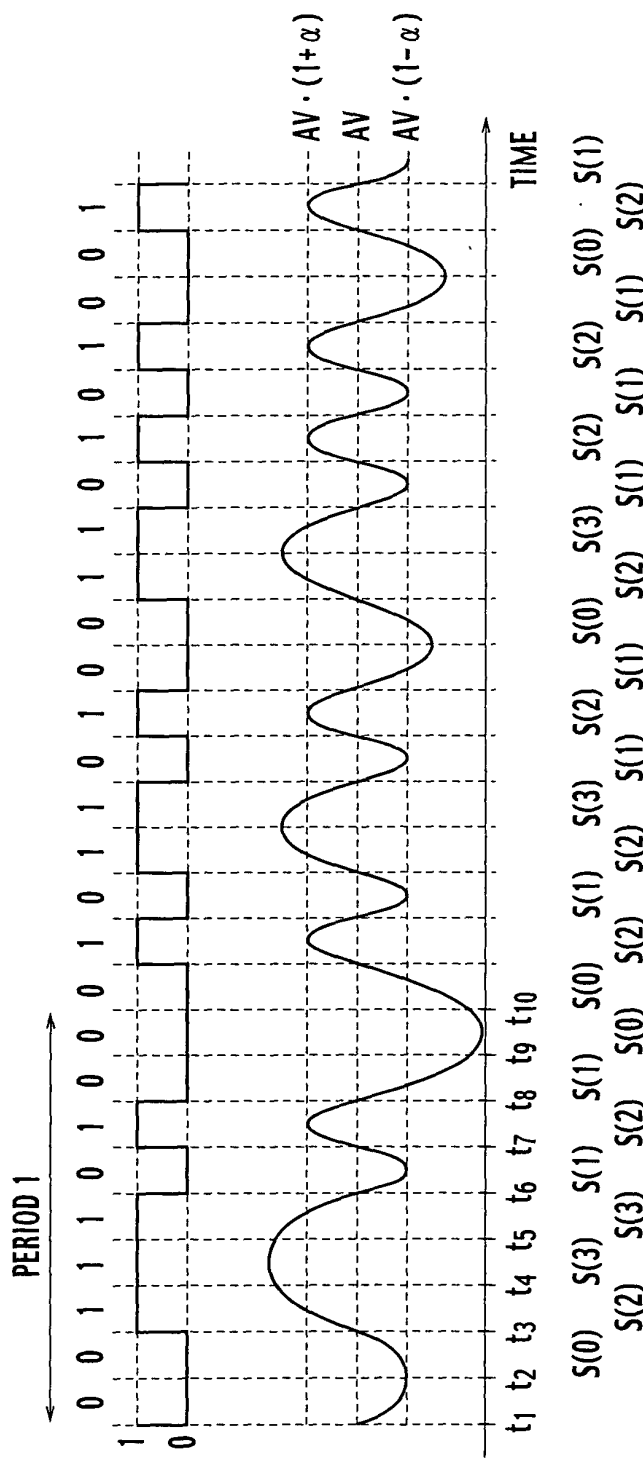


FIG. 8A BS

FIG. 9A

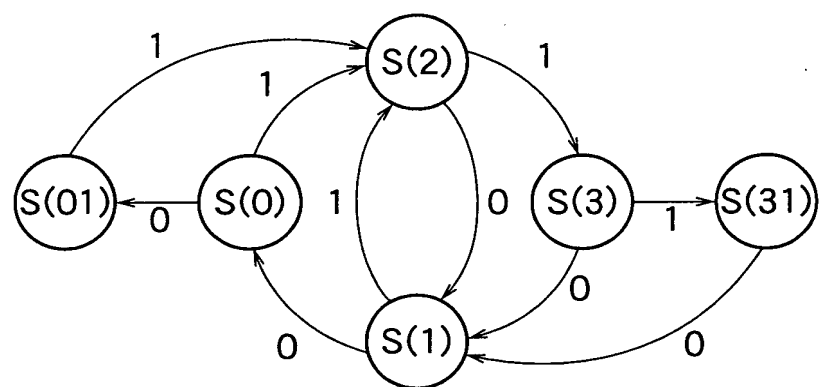


FIG. 9B

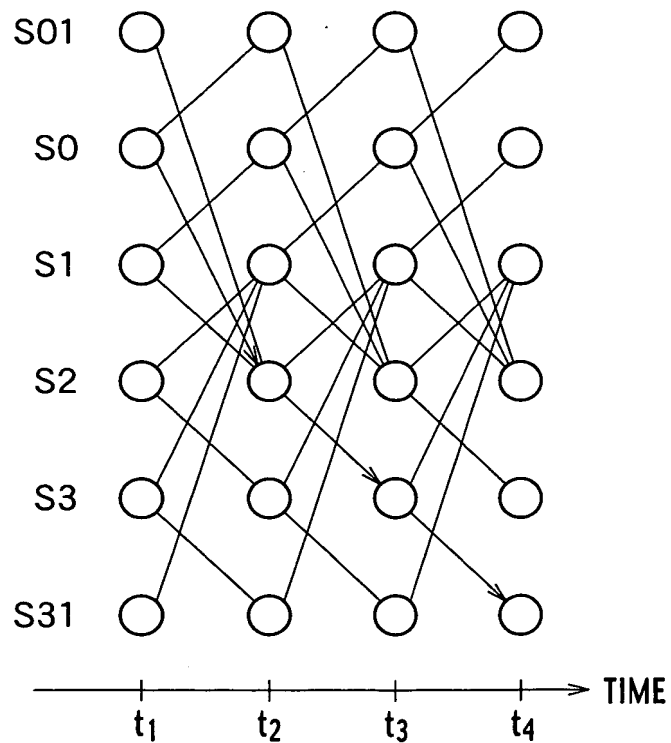


FIG. 10A BS

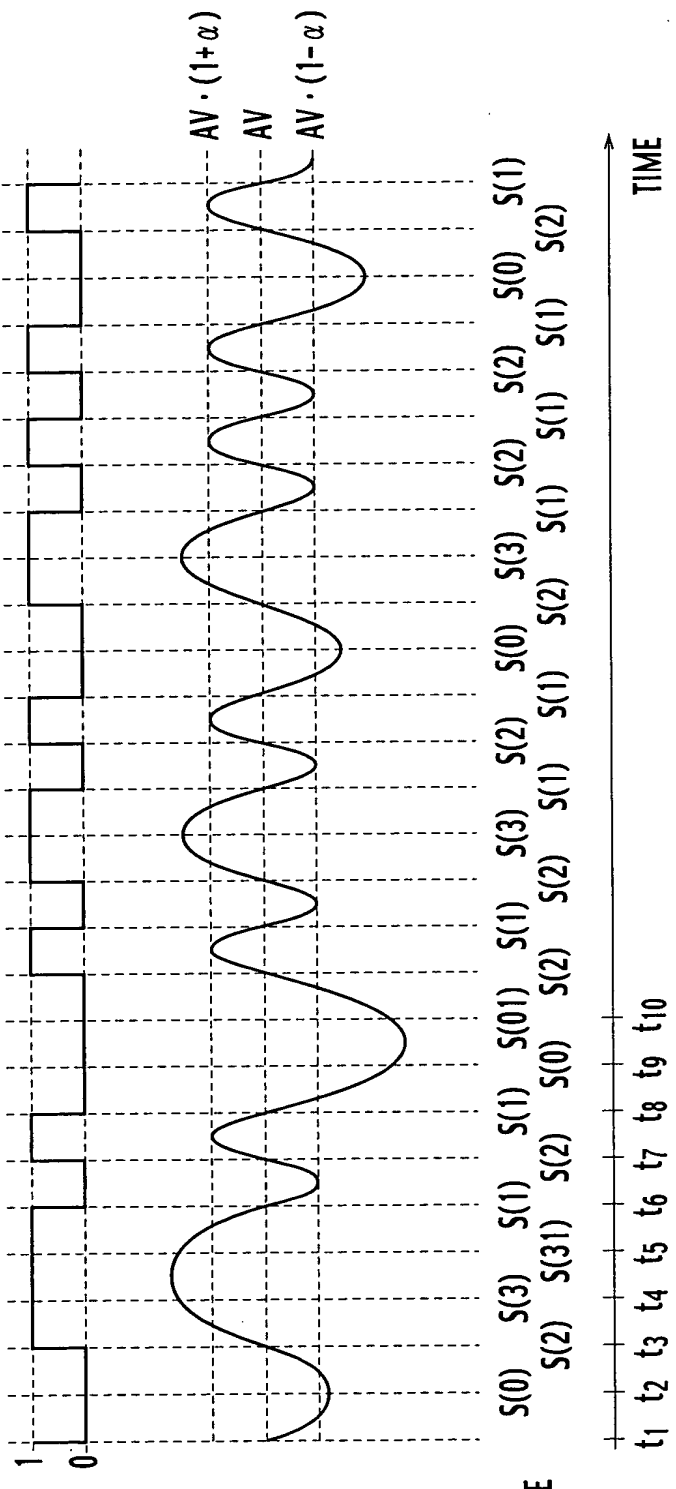


FIG. 10B CWS

FIG. 10C STATE

$S(0)$	$S(3)$	$S(1)$	$S(0)$	$S(1)$	$S(3)$	$S(2)$	$S(0)$	$S(3)$	$S(2)$	$S(2)$	$S(0)$	$S(1)$
$S(2)$	$S(31)$	$S(2)$	$S(0)$	$S(2)$	$S(1)$	$S(2)$	$S(1)$	$S(1)$	$S(2)$	$S(1)$	$S(1)$	$S(2)$

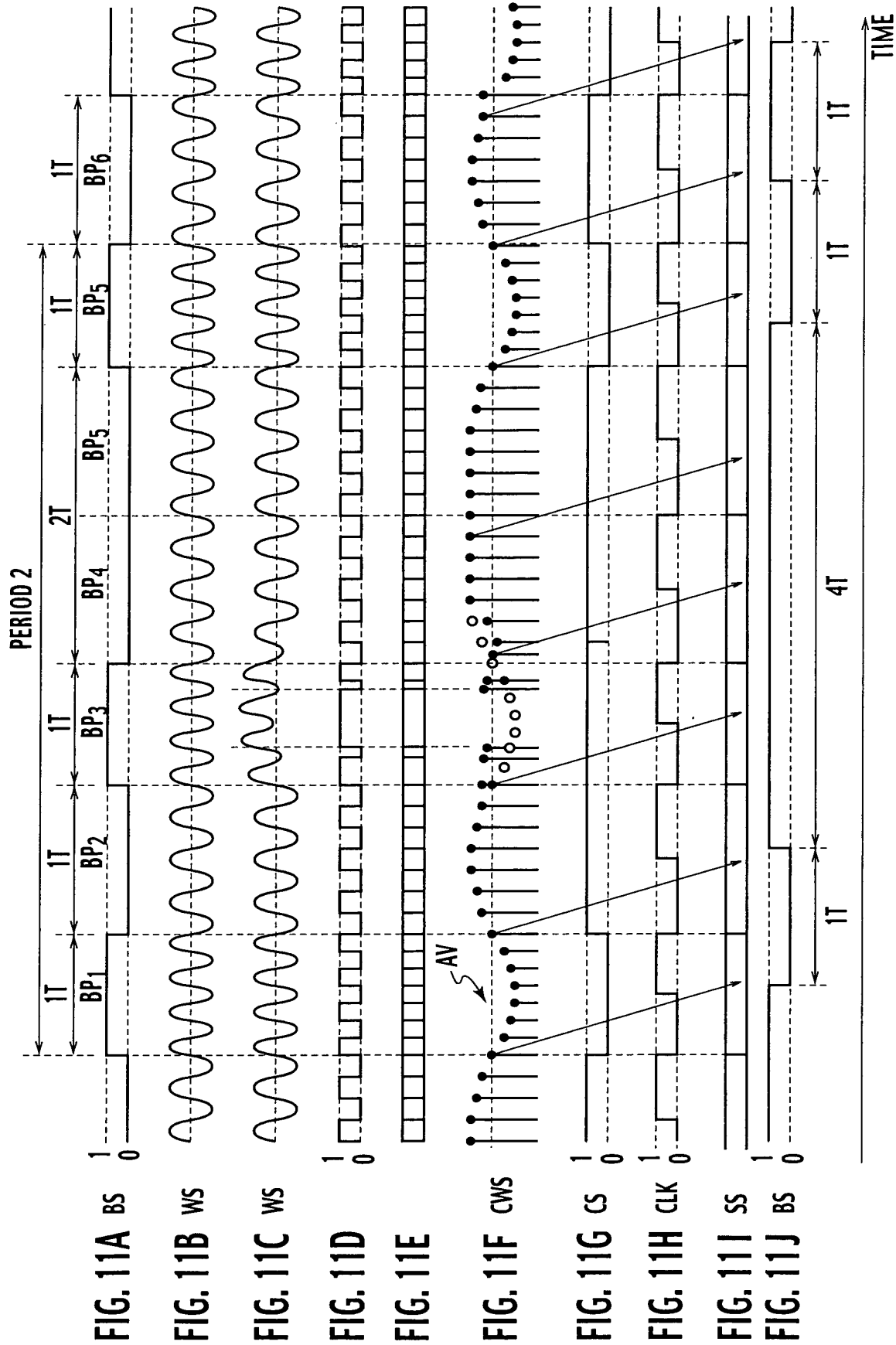


FIG. 12

(a) PATTERN	(b) BI-PHASE CODE SEQUENCE						(c) SAMPLED SIGNAL VALUE					(d) ROOT-MEAN SQUARE ERROR	
	BP1	BP2	BP3	BP4	BP5	BP6	L1	L2	L3	L4	L5		
1	1	0	1	0	0	1	0	0	0	1	0	0.25	
2	1	0	1	0	1	1	0	0	0	0	1	2.25	
3	1	0	1	1	0	1	0	0	0	-1	0	0	2.25
4	1	0	1	1	1	1	0	0	0	-1	-1	-1	6.25
5	1	0	0	0	1	1	0	1	1	1	0	-1	3.25
6	1	0	0	1	0	1	0	1	0	0	0	0	1.25
7	1	0	0	1	1	1	0	1	0	-1	-1	-1	5.25

FIG. 13

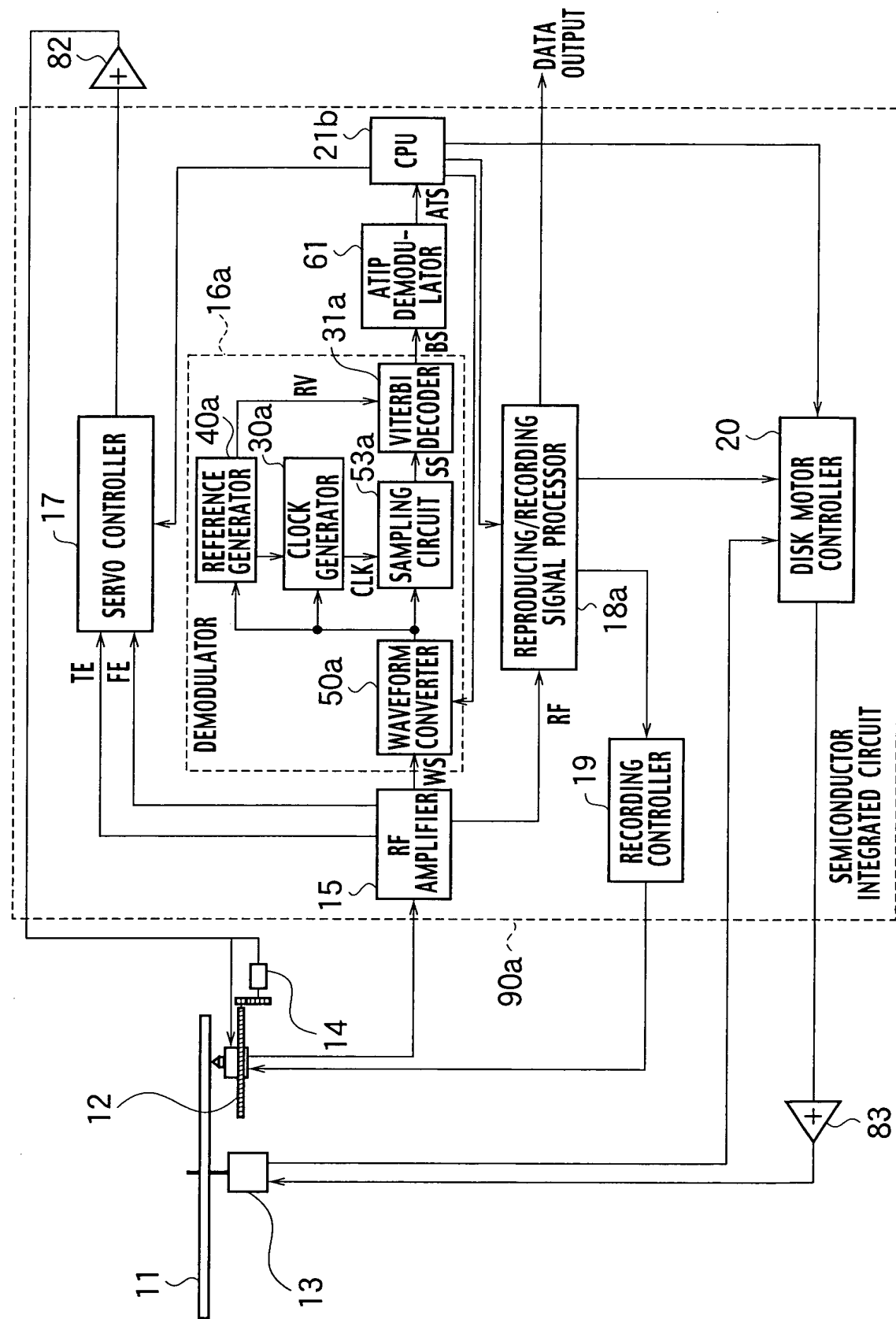


FIG. 14

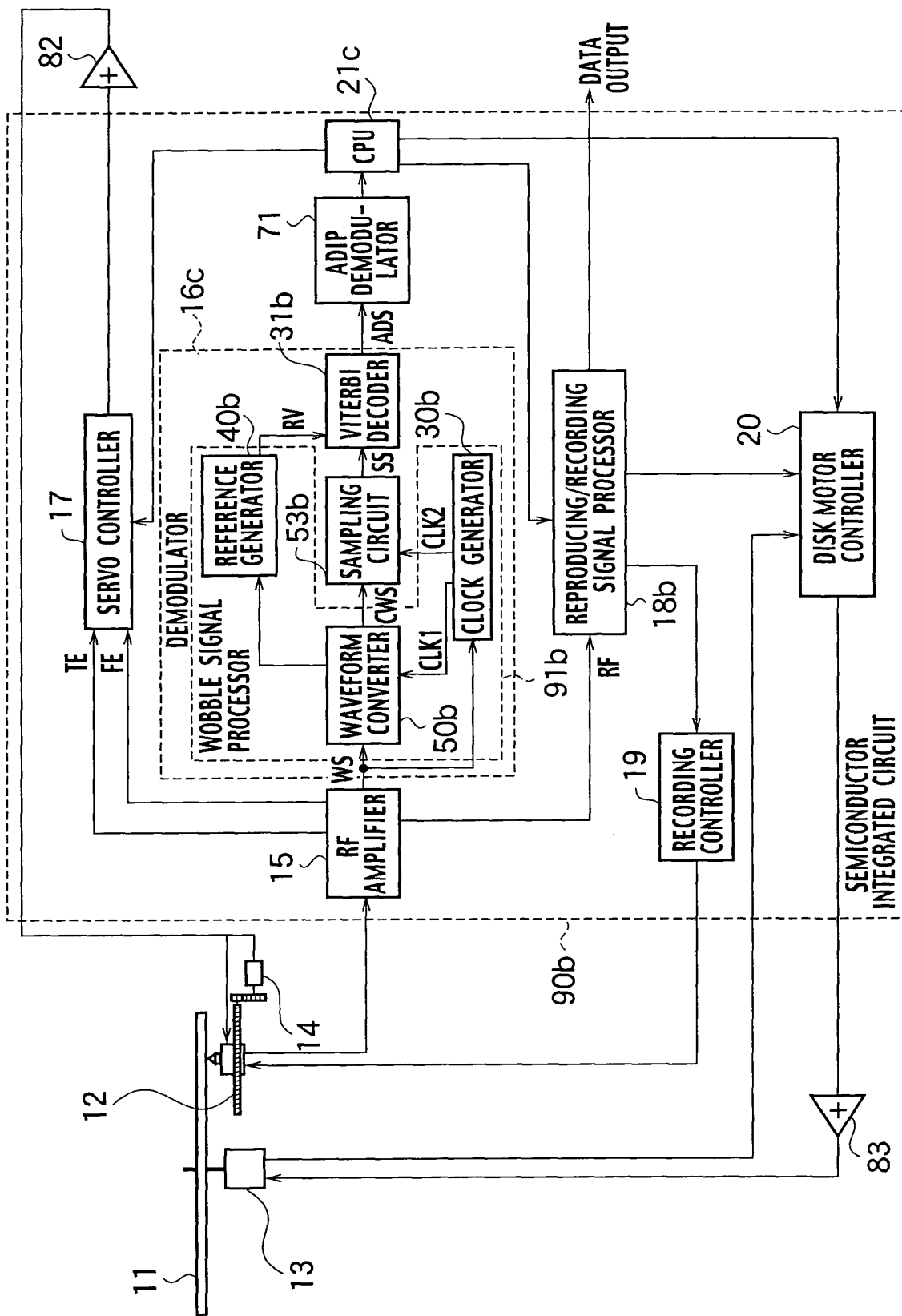
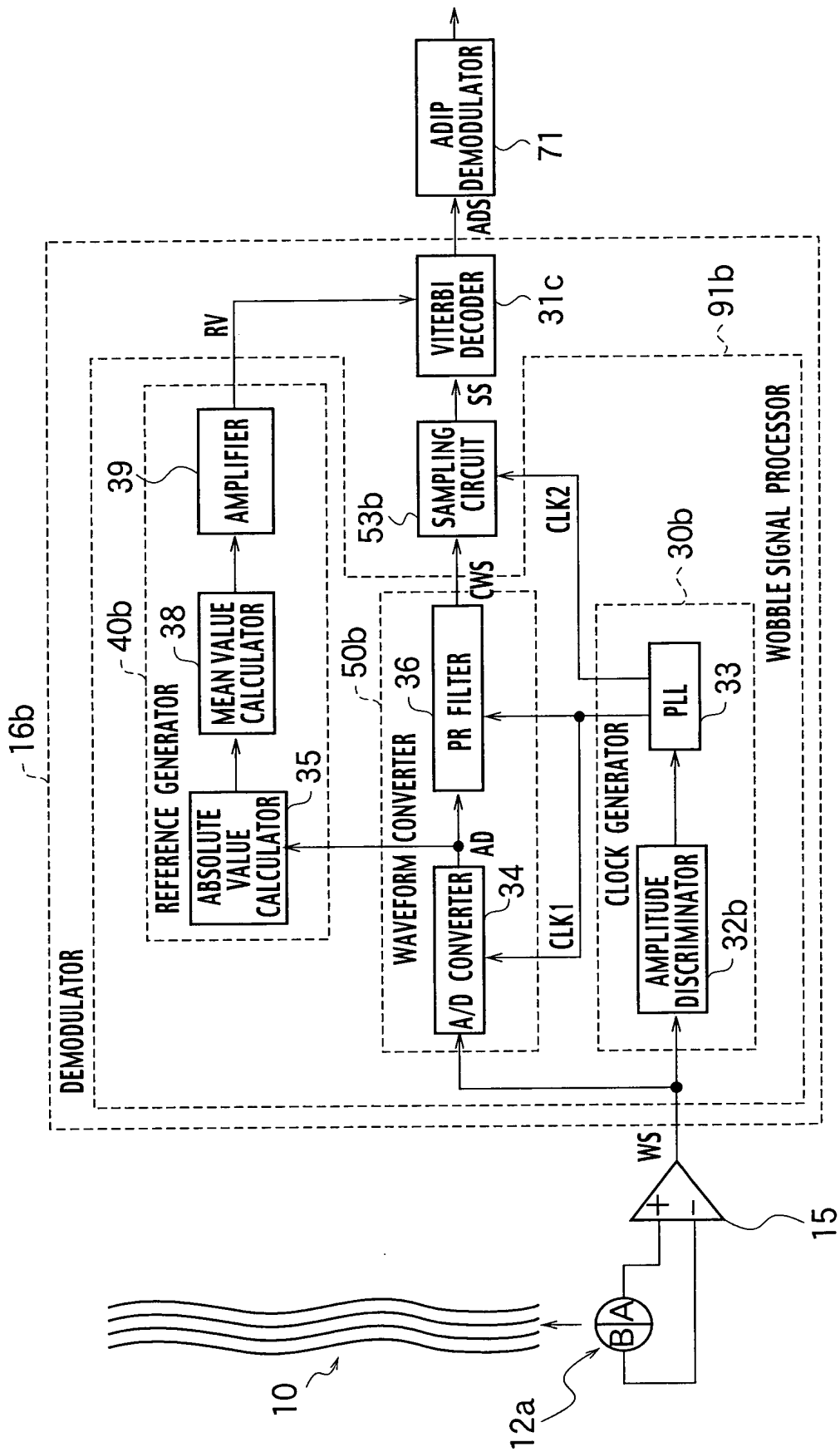


FIG. 15



15/23

FIG. 16

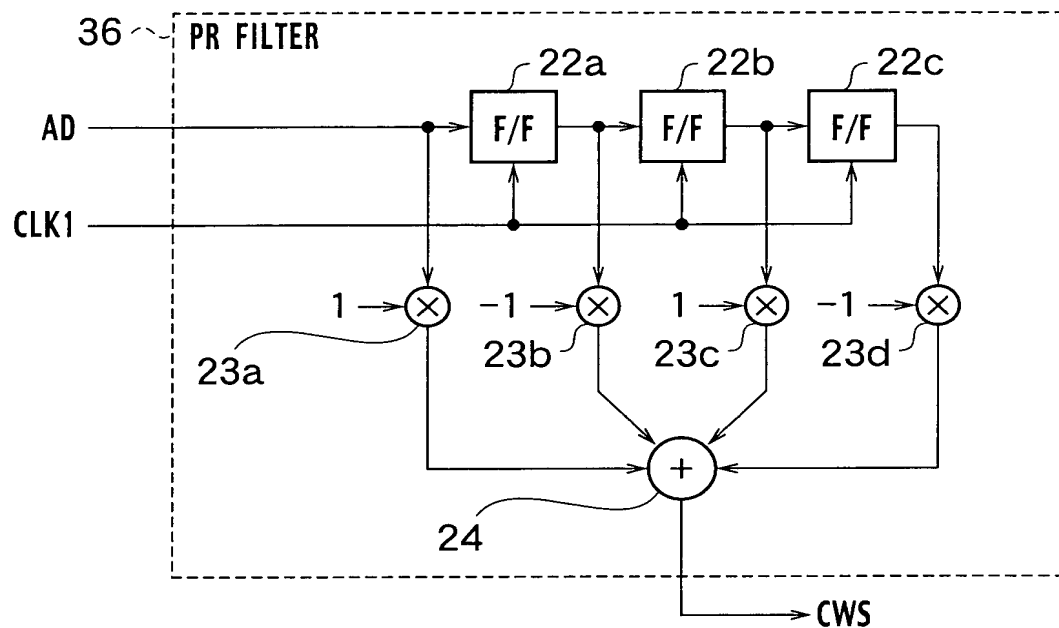


FIG. 17

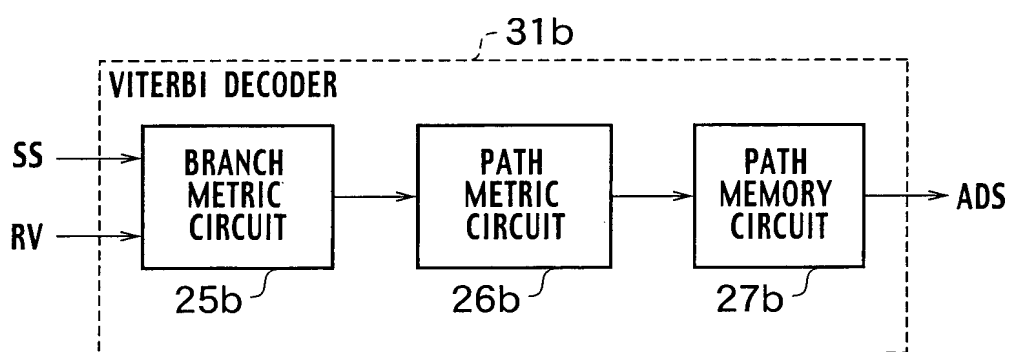


FIG. 18

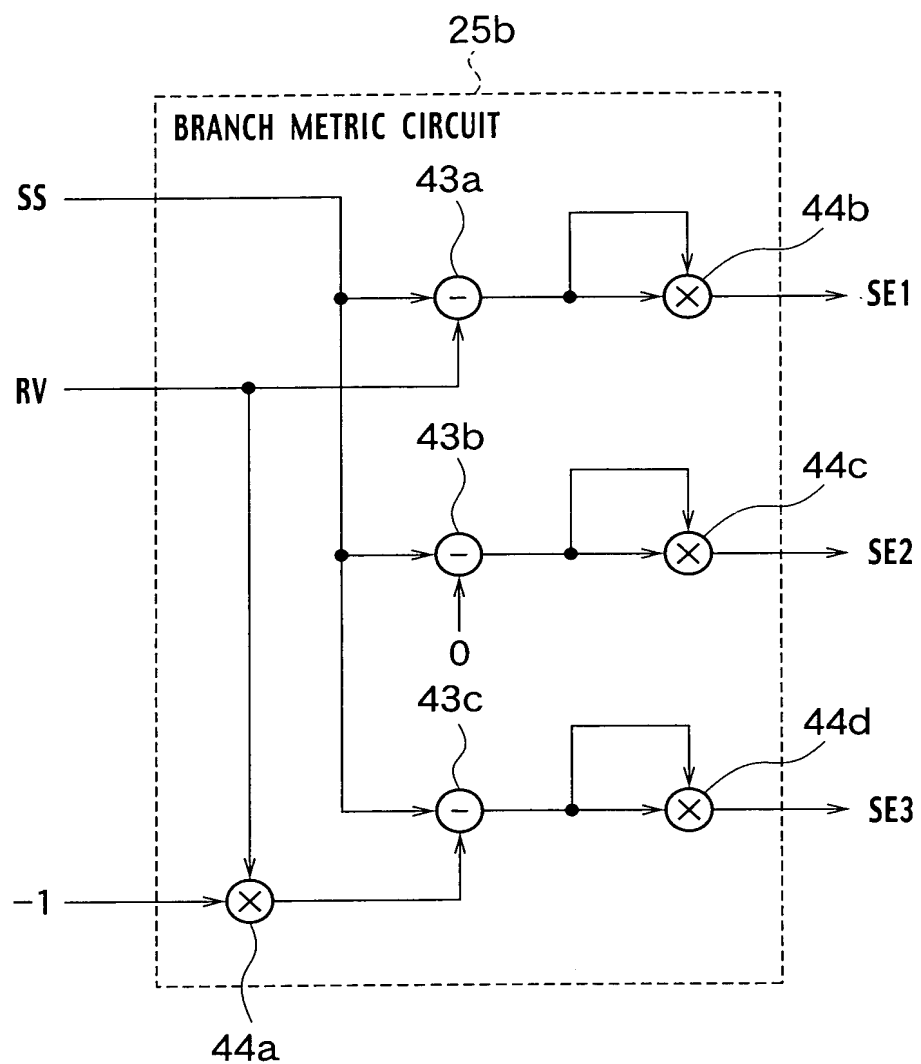


FIG. 19A

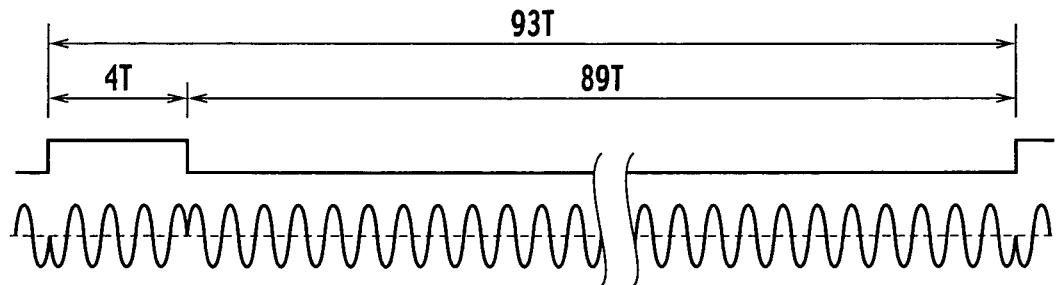


FIG. 19B

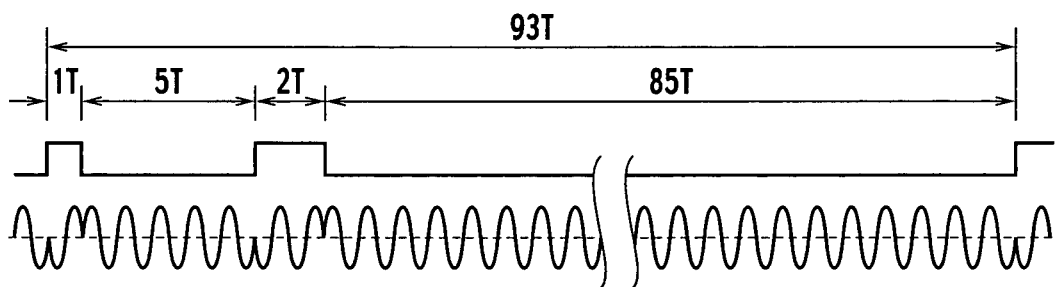
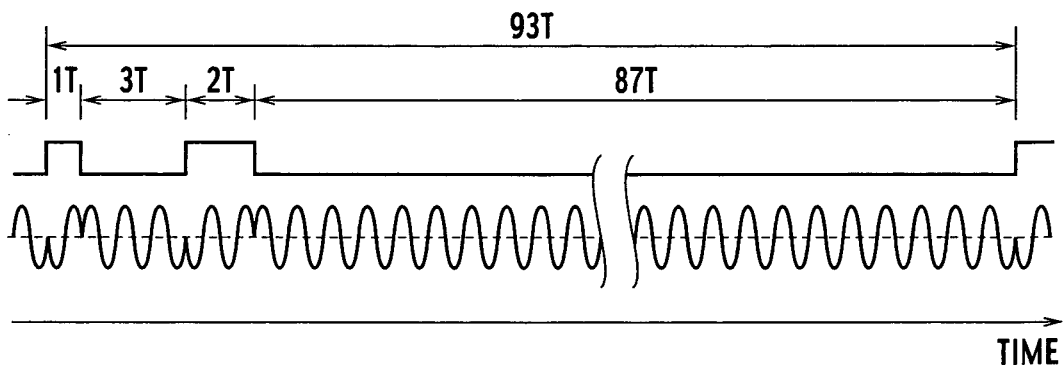
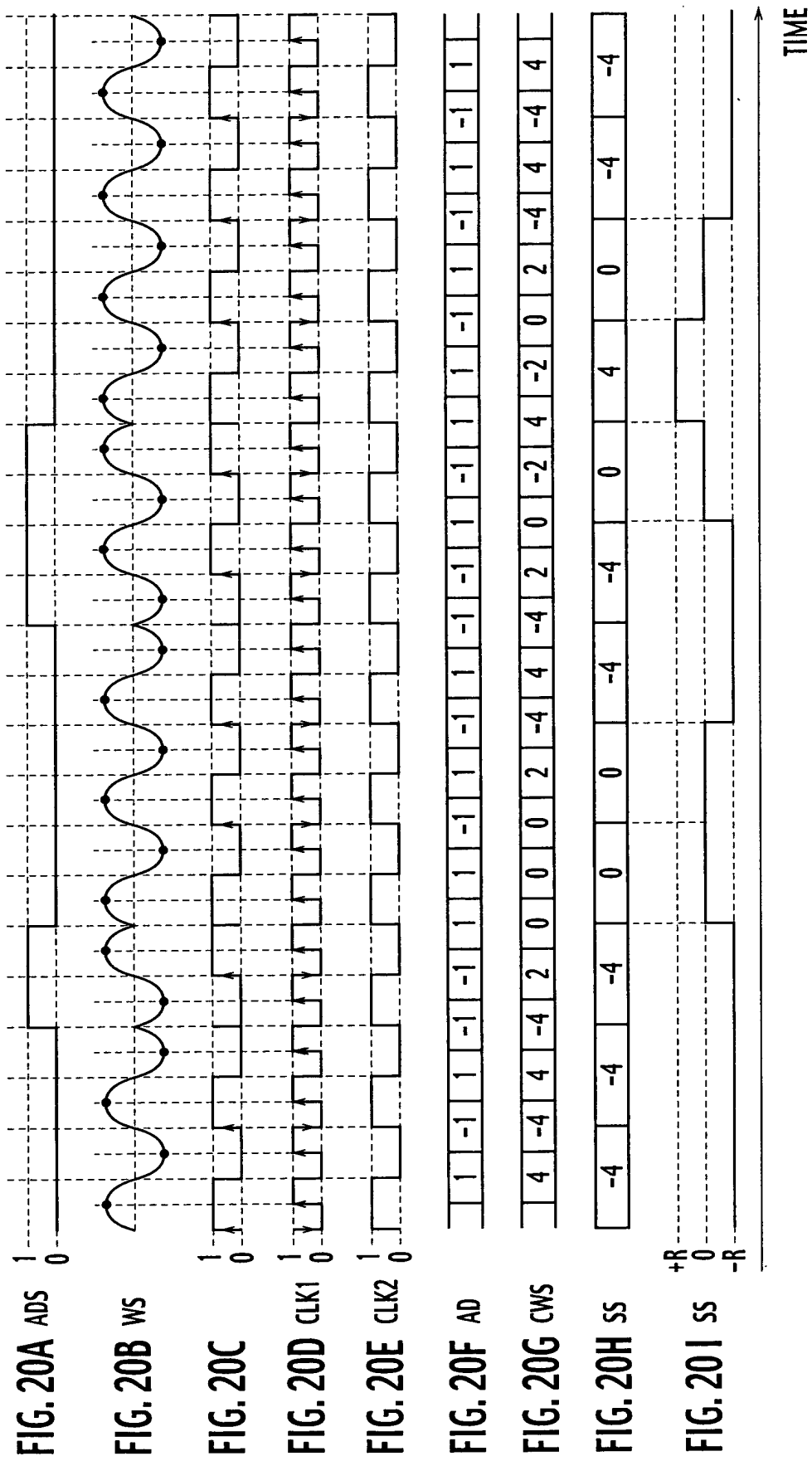


FIG. 19C





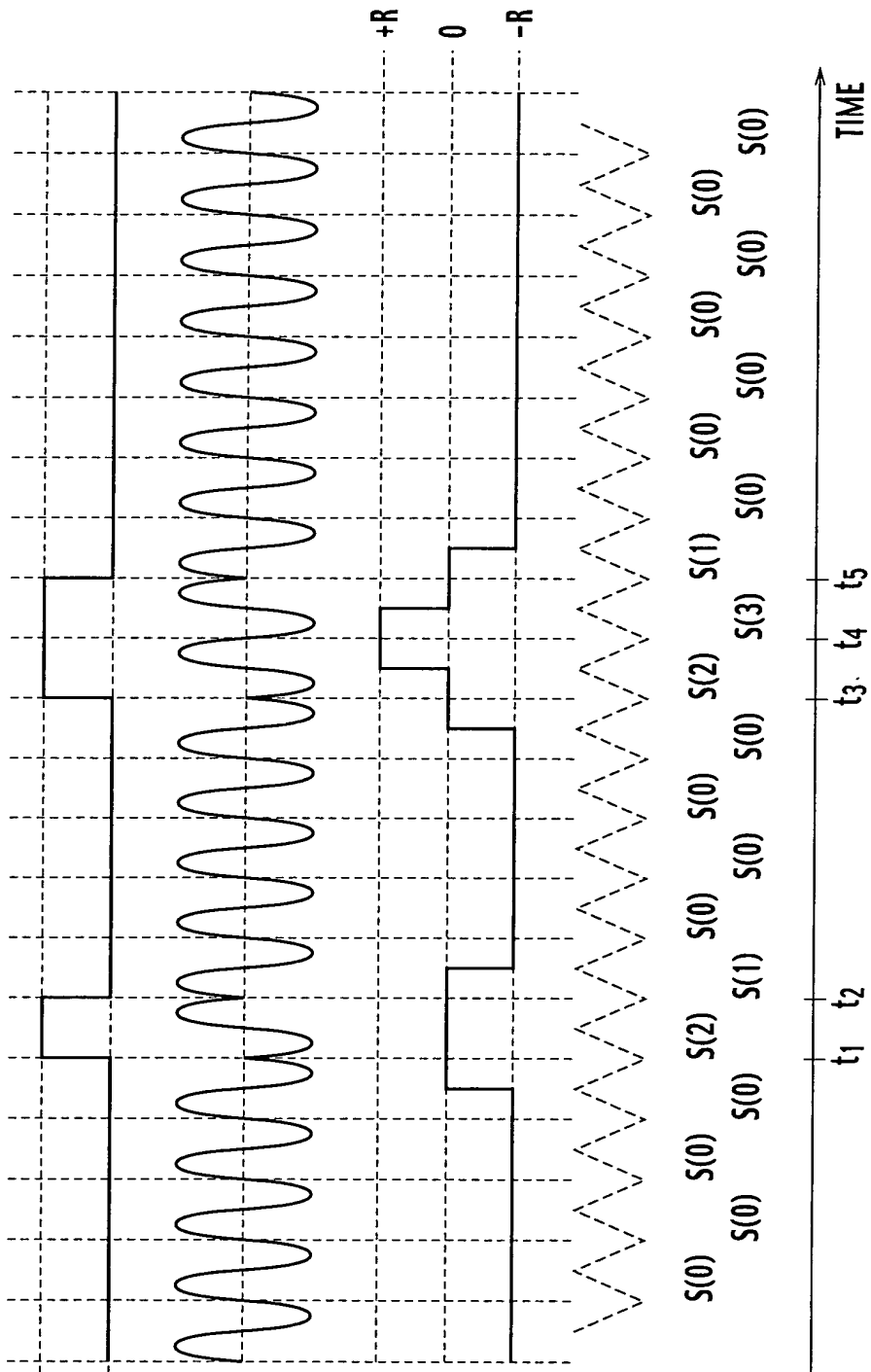


FIG. 21A ADS

FIG. 21B

FIG. 21C CWS

FIG. 21D STATE

FIG. 22A

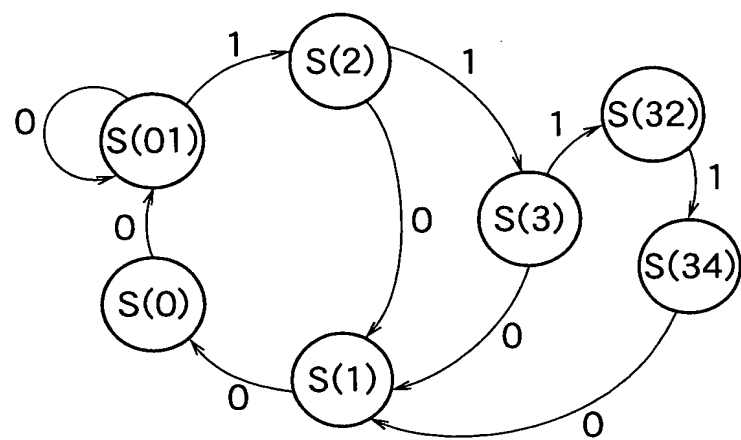
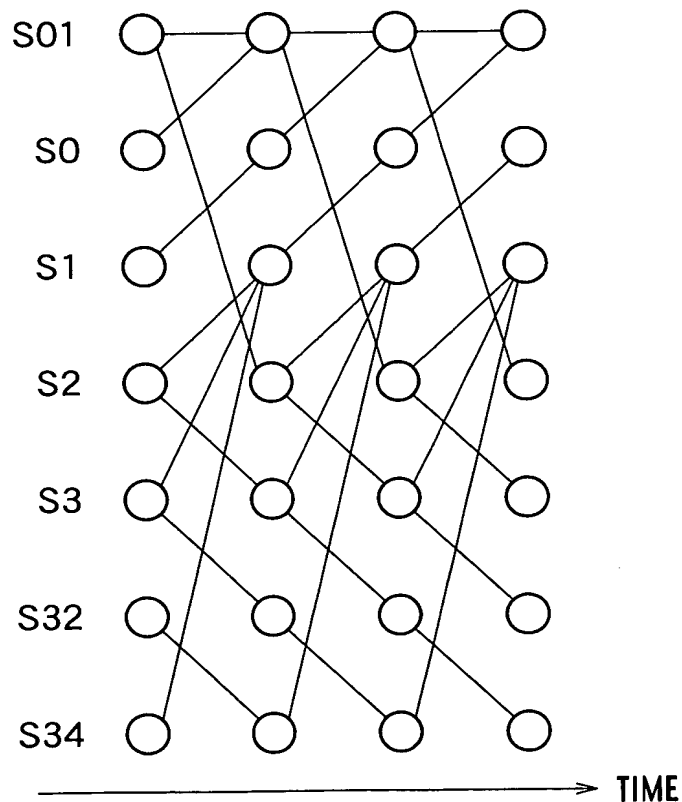
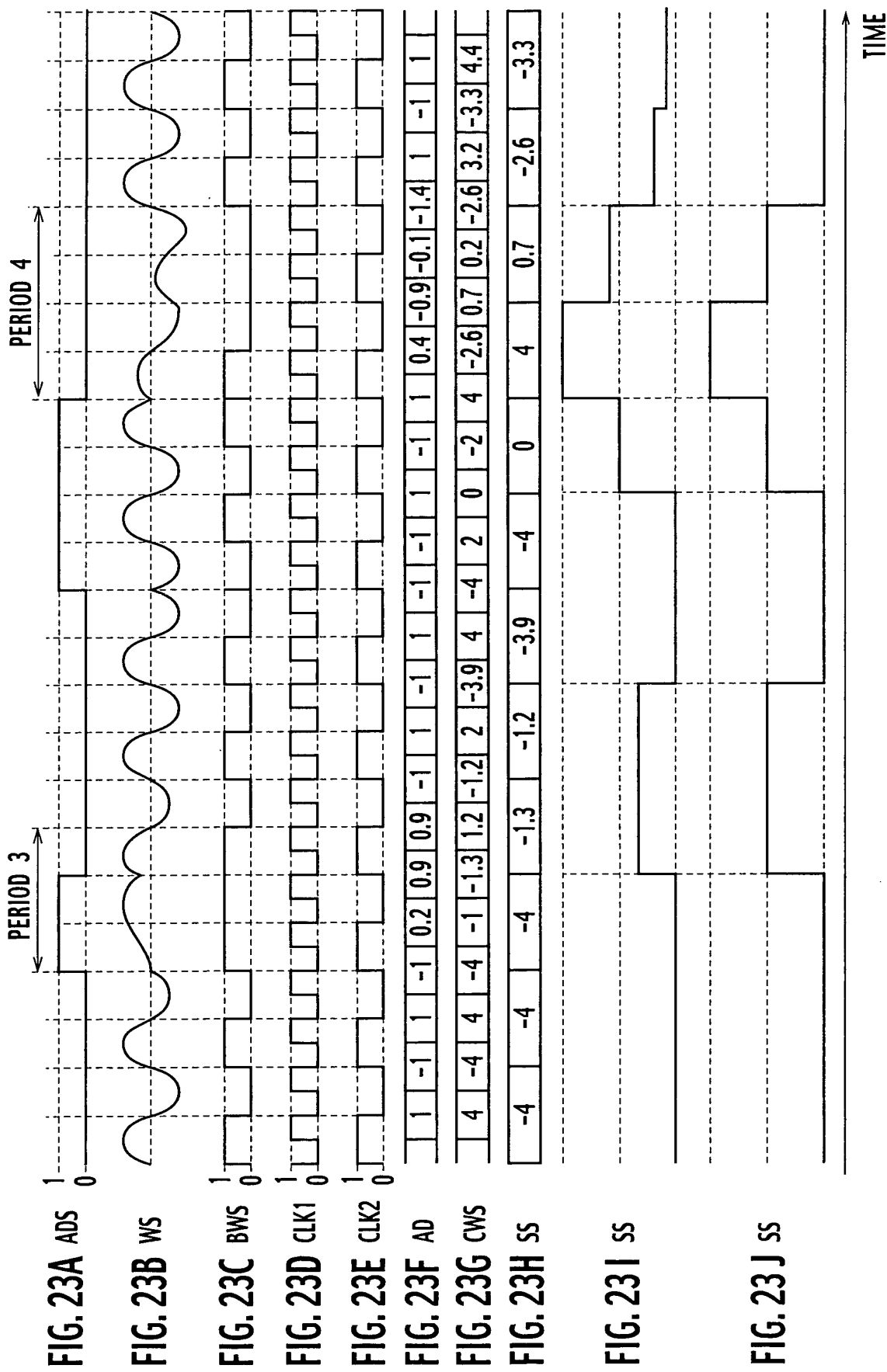


FIG. 22B





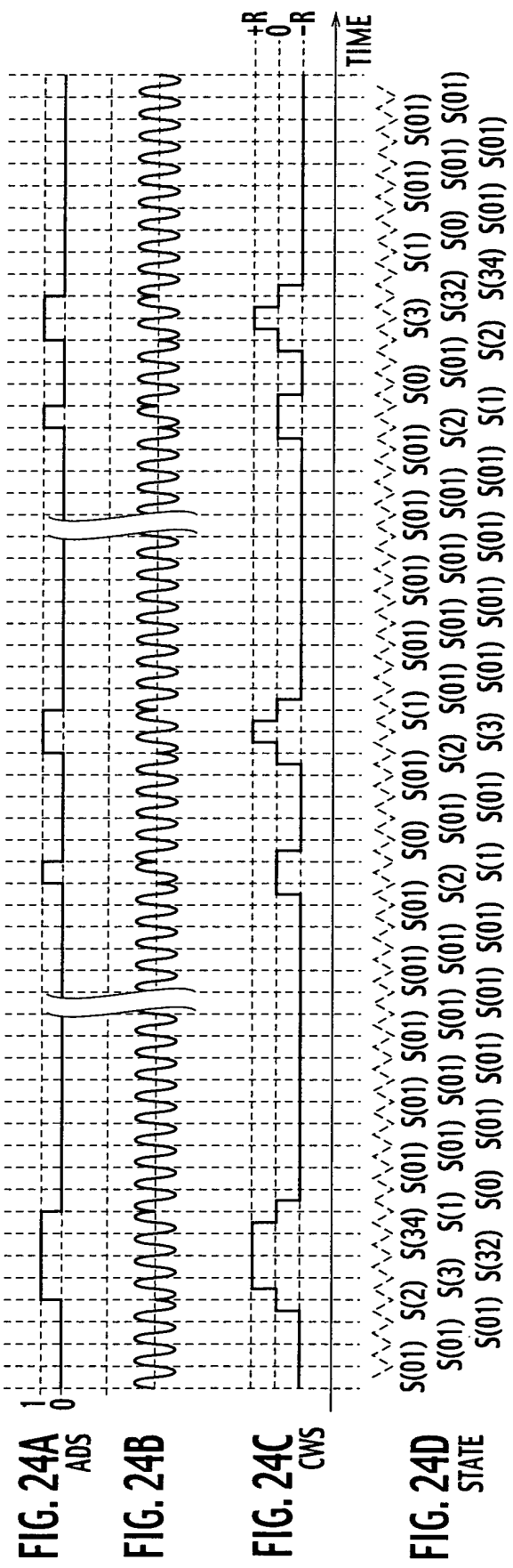


FIG. 25

